

безразмерного времени  $\sigma$ . Кривые 1—3 соответствуют  $v = 1,0; 0,5; 0,27$ . Видно, что коэффициент  $C_p$  значительно зависит от  $v$  в законе горения.

Таким образом, из расчетов следует, что  $v$  является существенным параметром при изменении формы горящего тела. Величина  $v$  может быть восстановлена для конкретного материала из анализа снимков горящего тела в разные моменты времени либо из закона торможения горящего тела по изменению коэффициента  $C_p$ .

#### ЛИТЕРАТУРА

1. Баулин Н. Н., Кувалкин Д. Г., Нилюгин И. Н. и др. Исследование яркости излучения газов около горящей модели при движении со сверхзвуковой скоростью // Космич. исслед.—1987.—Т. 25, вып. 1.
2. Амфимов Н. А. Горение графита в потоке воздуха при высоких температурах // Изв. АН СССР. ОТН. Механика и машиностроение.—1964.—№ 5.
3. Вильямс Ф. А. Теория горения.—М.: Наука, 1971.
4. Зельдович Я. Б., Лейпунский О. Н., Либрович В. Б. Теория пестационарного горения пороха.—М.: Наука, 1975.
5. Булгаков В. К., Липанов А. М. Взаимодействие турбулентности и химической реакции в теории эрозионного горения конденсированных веществ // Хим. физика.—1986.—Т. 5, № 4.
6. Нилюгин И. Н., Талинов Р. Ф. Асимптотическая теория сверхзвукового обтекания горящих моделей и определение экспериментальных констант // Струйные и отрывные течения.—М.: Изд-во МГУ, 1989.
7. Нилюгин И. Н., Талинов Р. Ф. Асимптотическое решение уравнений Эйлера в ударном слое при неравномерном обтекании затупленного тела и подаче газа с его поверхности // Изв. АН СССР. МЖГ.—1989.—№ 6.
8. Аштейн Э. З., Нилюгин И. Н., Тирский Г. А. Унос массы и изменение формы трехмерного тела при движении по траектории в атмосфере Земли // Космич. исслед.—1979.—Т. 17, вып. 2.
9. Эльсогольц Л. Э. Дифференциальные уравнения и вариационное исчисление.—М.: Наука, 1965.

г. Москва

Поступила 8/IV 1992 г.,  
в окончательном варианте —  
27/VII 1992 г.

УДК 534.222.2 + 624.131

И. И. Гердюков, А. Г. Иоилев, А. Д. Ковтун,  
Ю. М. Макаров, С. А. Новиков

#### ИССЛЕДОВАНИЕ СЖИМАЕМОСТИ ПЕСЧАНОГО ГРУНТА ПРИ УДАРНО-ВОЛНОВОМ НАГРУЖЕНИИ

Систематическое экспериментальное изучение механических свойств мягких грунтов при взрывном нагружении было начато в конце 50-х годов (см., например, [1—6]). Однако почти во всех работах максимальное измерявшееся напряжение не превышало 75 МПа. Свойства песка при ударно-волновом нагружении в области больших напряжений исследовались в [2, 4]. В [2] получена ударная адиабата сухого песка с начальной плотностью  $\rho_0 = 1,66 \text{ г/см}^3$  в интервале напряжений от 100 МПа до 5 ГПа, а также зависимость массовой скорости частиц волны разгрузки при выходе плоской ударной волны (УВ) на свободную поверхность  $u_1$  от массовой скорости в падающей УВ  $u$  в интервале от 50 до 800 м/с. Оказалось, что во всем этом интервале  $u_1/u \approx 1,36$ . В [4] получены ударные адиабаты четырех фракций сухого песка в интервале напряжений от 1 до 6 ГПа и двух фракций водонасыщенного песка в интервале от 2 до 12 ГПа.

Ниже приводятся некоторые результаты измерений сжимаемости нарушенного песчаного грунта естественной влажности в проходящей и



Рис. 1

максимальный размер частиц грунта  $d = 0,5$  мм. Рентгенограмма, сделанная до проведения опыта, приведена на рис. 1, а: в кювету со стальным дном 6 и стенками из оргстекла засыпался песчаный грунт 1, в котором располагались полоски медной фольги 2 сечением  $0,1 \times 5$  мм, плоский заряд пластиического ВВ 3 толщиной 2 мм, отделенный от грунта лавсановой пленкой 4 толщиной 0,2 мм, и медные проволочки 5 диаметром 1 мм. При закладывании в кювету грунт (с насыпной плотностью  $1,54 \text{ г}/\text{см}^3$ ) разравнивался и подтрамбовывался до плотности  $1,68 \text{ г}/\text{см}^3$ . Толщина слоя грунта над зарядом ВВ и под ним  $\sim 15$  мм. Ширина сборки в направлении рентгенографирования 52 мм, из них по 4 мм приходилось на боковые стенки кюветы, выполненные из оргстекла. Инициирование заряда ВВ осуществлялось одновременно по всему левому торцу, рентгенирование — через 33, 9 мкс после инициирования, рентгенограмма приведена на рис. 1, б.

Скорость движения нагрузки по слою грунта равна скорости детонации ВВ ( $D_{\text{ВВ}} = 7,85 \text{ км}/\text{с}$ ), что значительно превышает скорости распространения УВ и волны разгрузки в грунте, поэтому с хорошей точностью можно считать, что рентгенограмма, приведенная на рис. 1, б, может служить временной разверткой движения грунта, которое имело бы место при мгновенном инициировании всего слоя ВВ (при этом координата  $l$  по горизонтальной оси соответствует времени  $t = l/D_{\text{ВВ}}$ ).

Для исследования сжимаемости насыпного песчаного грунта естественной влажности (около 4 %) плотностью  $\rho_{00} = 1,54 \text{ г}/\text{см}^3$  при ударно-волновом нагружении в области более низких давлений использовались пьезоэлектрические датчики давления ПДД [7, 8]. Максимальный размер частиц грунта  $d = 0,5$  мм. Схема проведения опытов приведена на рис. 2. Нормальное напряжение в грунте 2 измерялось датчиками давления 3, помещенными на расстоянии  $x = 10, 20, 30$  и  $40$  мм от плоского заряда ВВ 1 (квадратная пластина толщиной 2 мм со стороной 25 см). Нормальное напряжение в УВ, отраженной от стальной плиты 4 толщиной 4 см, измерялось датчиком давления, установленным в плите заподлицо с ее поверхностью. Сверху заряд ВВ засыпался слоем того же грунта толщиной 5 см.

По результатам опытов были построены  $t - x$ -диаграммы распространения УВ по грунту, приведенные на рис. 3, а, б ( $x$  — расстояние от заряда ВВ, точки 1 и 2 — результаты измерения в грунте соответственно над и под зарядом ВВ, полученные при обработке рентгенограммы, 3 — результат измерений с помощью датчиков, штриховая линия — аппроксимация полиномом). Усредненная зависимость скорости УВ  $D$  от  $x$  получается при дифференцировании соответствующего аппроксимации

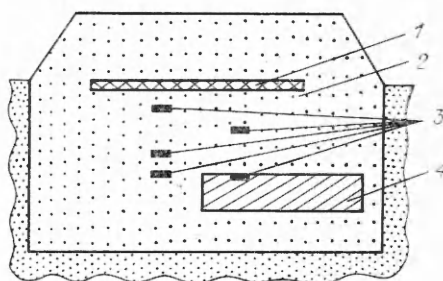


Рис. 2

отраженной УВ, создаваемых детонацией плоского слоя взрывчатого вещества (ВВ), в интервале напряжений от 0,07 до 7,84 ГПа.

Исследование сжимаемости сухого нарушенного песчаного грунта с  $\rho_{00} = 1,68 \text{ г}/\text{см}^3$  при ударно-волновом нагружении в области давлений 0,38—7,84 ГПа проводилось с помощью рентгенографической методики на установке ЭРИДАН-3. Мак-

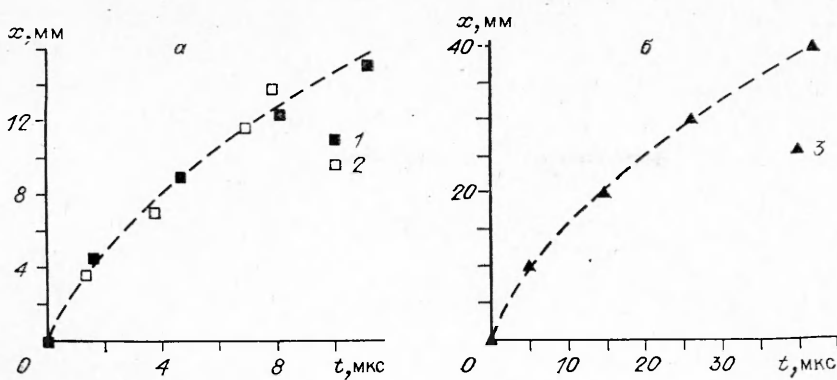


Рис. 3

рующего полинома. В опыте с рентгенографической регистрацией по отклонению фольги и проволочек при прохождении УВ по грунту определялась его массовая скорость  $u$ , а из соотношений на фронте УВ можно получить нормальное напряжение  $\sigma_n$  и сжимаемость  $\beta = 1 - \rho_{00}/\rho$  в проходящей УВ ( $\rho$  — плотность сжатого вещества):

$$\sigma_n = \rho_{00} u D, \quad \beta = u/D.$$

В опыте с использованием датчиков ПДД сжимаемость и массовая скорость определялись из этих же соотношений по известным  $D$  и  $\sigma_n$ . Под действием УВ датчики, находившиеся на расстоянии 10 и 20 мм от заряда ВВ, разрушались, поэтому по их показаниям можно судить только о факте прихода УВ.

Диаграмма  $D - u$  для песчаного грунта представлена на рис. 4. Экспериментальные точки, полученные при обработке рентгенограммы, вполне удовлетворительно аппроксимируются штриховой прямой  $D = a + bu$ , где  $a = 0,406$  км/с и  $b = 2,43$  (см. таблицу) (1, 2 — результаты измерения в грунте соответственно над и под зарядом ВВ, найденные при обработке рентгенограммы, 3 — результат измерений с помощью датчиков ПДД). В таблице приведены аналогичные зависимости, полученные в [2, 4] для сухого (прокаленного перед опытом) песка, параметры грунта и коэффициенты  $a$  и  $b$ . Отметим близкие значения  $a$  и  $b$  для нефракционированного песчаного грунта, найденные в [2], которые заметно отличаются от значений для фракционированного грунта, приведенных в [4].

В опытах были также получены: для насыщенного песка естественной влажности значение коэффициента отражения  $\sigma_r/\sigma_n = 7,5$  при  $\sigma_n = 0,07$  ГПа ( $\sigma_r$  — максимальное нормальное напряжение в отраженной волне), для сухого песка значение отношения массовой скорости при выходе УВ на свободную поверхность к массовой скорости в проходящей УВ  $u_1/u = 1,4$  при  $u = 0,22$  км/с, которое вполне согласуется со значением 1,36, приведенным в [2].

Полученная зависимость  $\sigma_n - \beta$  для песчаного грунта в сравнении с данными других авторов приведена на рис. 5 (обозначения те же, что

Параметры грунта	Коэффициенты		Источник	Номер кривой на рис. 4, 5
	$a$ , км/с	$b$		
$\rho_{00}$ , г/см <sup>3</sup>	$d$ , мм			
1,68	$\leq 0,5$	0,406	2,43	
1,66	—	0,5	2,404	[2]
1,52	0,85—1,4	0,571	1,61	[4]
1,54	0,85—1,4	0,56	1,7	[4]
1,49	0,07—0,14	0,504	1,6	[4]
1,29	$\sim 0,07$	0,187	1,86	[4]

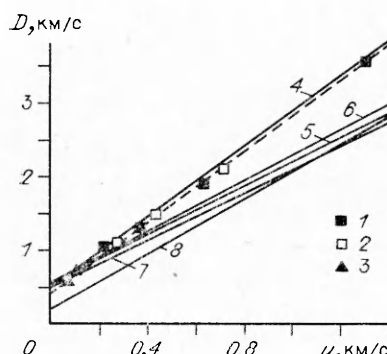


Рис. 4

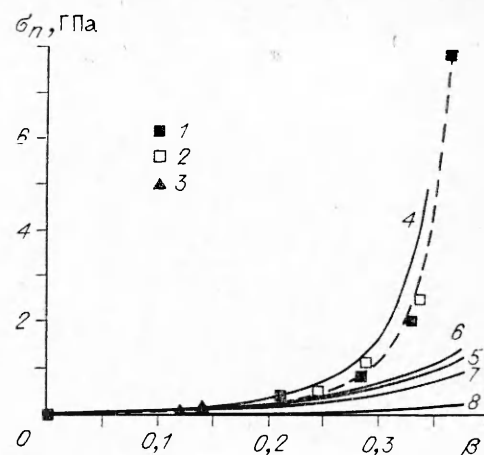


Рис. 5

и на рис. 4). Расхождение можно объяснить как различным составом и влажностью исследованного песка, так и разными условиями погружения.

#### ЛИТЕРАТУРА

1. Алексеенко В. Д., Григорян С. С., Новгородов А. Ф., Рыков Г. В. Некоторые экспериментальные исследования по динамике мягких грунтов // ДАН СССР.—1960.—Т. 133, № 6.
2. Лагунов В. А., Степанов В. А. Измерение динамической сжимаемости песка при высоких давлениях // ПМТФ.—1963.—№ 4.
3. Ляхов Г. М. Основы динамики взрывных волн в грунтах и горных породах.—М.: Недра, 1974.
4. Дианов М. Д., Златин Н. А., Мочалов С. М. и др. Ударная сжимаемость сухого и водонасыщенного песка // Письма в ЖТФ.—1976.—Т. 2, вып. 12.
5. Рыков Г. В., Скобеев А. М. Измерение напряжений в грунтах при кратковременных нагрузках.—М.: Наука, 1978.
6. Поведение грунтов под действием импульсных нагрузок.—Кнев: Наук. думка, 1984.
7. Бодренко С. И., Гердюков Н. Н., Крысанов Ю. А., Новиков С. А. Применение кварцевых датчиков давления для исследования ударно-волновых процессов // ФГВ.—1981.—№ 3.
8. Гердюков Н. Н., Ионлев А. Г., Новиков С. А. Исследование воздействия взрывных нагрузок на мягкий грунт // ПМТФ.—1992.—№ 2.

г. Арзамас

Поступила 7/VIII 1992 г.

УДК 532.525.2 : 533.6.011.72

Г. Ф. Горшков, В. Н. Усков, В. С. Фаворский

#### ОСОБЕННОСТИ НЕСТАЦИОНАРНОГО ОБТЕКАНИЯ БЕЗГРАНИЧНОЙ ПРЕГРАДЫ НЕДОРАСШИРЕНОЙ СТРУЕЙ

Взаимодействие сверхзвуковой недорасширенной струи с плоской преградой, расположенной перпендикулярно набегающему потоку, является одной из проблемных задач газовой динамики. Это обусловлено прежде всего тем, что при определенных сочетаниях режимных параметров могут происходить резкие переходы от стационарного характера обтекания к нестационарному: в системе струя — преграда возникают интенсивные автоколебания [1—7]. Так, при фиксированных значениях

© Г. Ф. Горшков, В. Н. Усков, В. С. Фаворский, 1993